



## บทที่ 4

## อภิปรายและสรุปผลการทดลอง

การทดลองนี้ทำขึ้นเพื่อศึกษาถึงข้อเสนอของแอนชิสโตร เทคโตรีนต่อการบีบตัวของกล้ามเนื้อกระเพาะอาหารหนูขาวที่แยกออกจากกระเพาะและทำการบีบตัวของกระเพาะลำไส้ในหนูถีบจักรปักติ จากผลการทดลอง เมื่อให้สารกระตุ้นต่าง ๆ ได้แก่ อะเซทิลโคเลิน แมเรียมคลอไรด์ ซีโรโคนิน โปเปตเตส เชี่ยมคลอไรด์ และแคลเซียมคลอไรด์ในสารละลายคือบลาไรมค์ด้วยโปเปตเตส เชี่ยมที่ปราศจากแคลเซียม ไปกราดตุนการหดเกร็งของกล้ามเนื้อกระเพาะและให้แอนชิสโตร เทคโตรีน ไปยับยั่งการหดเกร็งของกระเพาะอาหารที่ถูกกระตุ้นด้วยสารต่าง ๆ เหล่านี้ พบร่วมกันของแอนชิสโตร เทคโตรีนในการลดแรงหดเกร็งของกล้ามเนื้อกระเพาะอาหารไม่ถาวร เมื่อล้างออกกล้ามเนื้อกระเพาะอาหารที่ถูกกระตุ้นด้วยสารต่าง ๆ สามารถหดเกร็งได้แรงขึ้นเท่าเดิมอีก เชลล์กล้ามเนื้อกระเพาะอาหารหนูขาวเป็นกล้ามเนื้อชนิดเรียบ (smooth muscle) และเป็นชนิดที่สร้างกระแสไฟฟ้าได้เอง (spontaneously generate action potential) ขบวนการหดตัวของกล้ามเนื้อเรียบนี้ แคลเซียมมีบทบาทสำคัญที่สุด พบร่วมกับขบวนการนำแคลเซียมผ่านเข้าสู่ภายในเชลล์ของกล้ามเนื้อเรียบ 2 ขบวนการ (Bolton, 1979; Karaki & Weiss, 1984; Somlyo, 1985) ได้แก่ 1. potential-sensitive calcium channel หรือ voltage-dependent calcium channel ซึ่งทางผ่านแคลเซียมชนิดนี้จะเปิดเมื่อมีการลดความต่างศักย์ไฟฟ้าที่ผนังเชลล์ของกล้ามเนื้อเรียบ 2. receptor-operated calcium channel หรือ ROCs เมื่อ agonist จับกับ receptor และมีผลให้ ROCs เปิด แคลเซียมจากภายนอกเชลล์จะเคลื่อนเข้าสู่ภายในเชลล์ อาจมีไอออนตัวอื่น ๆ ด้วย เช่น โซเดียม เป็นต้น นอกจากที่กล่าวมาทั้ง 2 ขบวนการนี้ในบางสภาวะจะพบ receptor-operated released of cellular calcium เมื่อ agonist จับกับ receptor และมีผลให้ bound calcium ในเชลล์ปลดปล่อยออกมามาก เมื่อแคลเซียมอิสระภายในเชลล์เพิ่มขึ้นจะมีผลต่อขบวนการหดตัวของกล้ามเนื้อเรียบ (excitation-contraction coupling)

การทดลองครั้งนับว่า แอนซิสโตรเทคโตรีนสามารถลดการบีบตัวกระเพาะอาหาร หนูขาวที่ถูกกระตุ้นด้วยอะเซทิลโคเลอีนลดลงได้ในลักษณะของ dose-dependent มีรายงานว่า การออกฤทธ์ของอะเซทิลโคเลอีนต่อกล้ามเนื้อเรียบของลำไส้หนูตะเภา เกิดได้ 2 ทาง คือ 1. การออกฤทธ์ทางตรงโดยจับกับ muscarinic receptor ที่ผนังเซลล์ของกล้ามเนื้อเรียบแล้วมีผลทำให้เกิดการหดตัว (Day & Vane, 1963; Paton & Zar, 1968) กลไกการออกฤทธ์ของอะเซทิลโคเลอีนเข้าใจว่าไปเพิ่ม membrane permeability ต่อแคลเซียม (Chang & Triggle, 1973) ทำให้ receptor-operated calcium channel เปิดแคลเซียมจากภายนอกเซลล์จะเคลื่อนเข้าสู่ภายในเซลล์ (Bolton, 1971, 1979) เกิด depolarization ที่ผนังเซลล์ เป็นผลให้แคลเซียมผ่าน voltage-dependent calcium channel จึงเพิ่มความฉันของการเกิด action potential ทำให้กล้ามเนื้อหดตัวขึ้นและแรงขึ้น (Burgen & Spero, 1968; Bolton, 1979) 2. การออกฤทธ์ทางอ้อมโดยกระตุ้นประสาทพาราซิมพาธิก ทำให้มีการปลดปล่อยอะเซทิลโคเลอีนออกจากปลายประสาทอะเซทิลโคเลอีนที่อยู่ในกล้ามเนื้อเรียบให้หดตัว (Day & Vane, 1963; Chiou, 1973) จากผลการทดลองแสดงในรูปที่ 6 แอนซิสโตรเทคโตรีนขนาดความเข้มข้น  $1 \times 10^{-5}$  และ  $3 \times 10^{-5}$  โมล สามารถลดฤทธ์อะเซทิลโคเลอีนได้ตาม dose-dependent และออกฤทธ์ในลักษณะ non-competitive antagonism และแตกต่างจากการออกฤทธ์ของอะโบรีนซึ่งเป็นแบบ competitive antagonism แสดงในรูปที่ 7, 8 ค่า  $PD_{50}$  values ของแอนซิสโตรเทคโตรีนทั้งสองขนาดความเข้มข้นไม่มีความแตกต่างกันอย่างมีนัยสำคัญทางสถิติ ( $P > 0.05$ ) แต่มีความแตกต่างจาก  $PA_2$  values ของอะโบรีนอย่างมีนัยสำคัญทางสถิติ ( $P < 0.05$ ) แสดงในตารางที่ 2

จากรายงานการทดลองในลำไส้เล็กของหนูตะเภา ชีโรโนนิมีผลทำให้กล้ามเนื้อเรียบหดตัวโดยผ่านทาง M-receptor (Neurotropic receptor) ซึ่งเป็นตัวรับอยู่ที่เซลล์ประสาท และ D-receptor (musculotropic receptor) ซึ่งเป็นตัวรับอยู่ที่เซลล์ของกล้ามเนื้อเรียบ (Gaddums & Picarelli, 1957; Day and Vane, 1963) แต่ในกล้ามเนื้อกระเพาะอาหารหนูขาวพบแต่ D-receptor เท่านั้น (Offermeier & Ariens 1966; Frankhuijzen & Bonta, 1974) ชีโรโนนิมีฤทธิ์ผ่านทาง M-receptor

นั่นพบในกล้ามเนื้อหลอดลมของปลาคาพที่แยกออกมา (isolate tracheal muscle) ต่างกับลำไส้เล็กของหนูตะเภาซึ่งพบทั้ง 2 receptor (Offermeier and Ariens, 1966) การออกฤทธิ์ของชีโรโโนนินผ่านทาง M-receptor พบร่วมกับการออกฤทธิ์ทางอ้อมโดยชีโรโโนนินจะจับกับ receptor ที่ postganglionic membrane ของ cholinergic intramural ganglion cell ทำให้มีการปลดปล่อยอะเซทิลโคเลนออกจากปลายประสาทอะเซทิลโคเลนที่ปล่อยออกมานี้จะไปกระตุ้นกล้ามเนื้อเรียบให้เกิดการหดเกร็ง (Harry, 1963; Costa & Furness, 1979) ส่วนการออกฤทธิ์ทางตรงของชีโรโโนนินจะผ่านทาง D-receptor โดยชีโรโโนนินจะจับกับ D-receptor มีผลให้ receptor-operated Ca channel เปิด (Day & Vane, 1963; Costa & Furness, 1979) แล้วเขย่าจากภายนอกเซลล์เคลื่อนเข้าสู่ภายในเซลล์ มีผลต่อการหดตัวของกล้ามเนื้อ (Weinstock & Weiss, 1979; Mukai & Kubota, 1980) จากผลการทดลองในรูปที่ 9 แอนซิสโทรเทคโนโลยีขนาดความเข้มข้น  $1 \times 10^{-5}$  และ  $2 \times 10^{-5}$  มोล ลดฤทธิ์ของชีโรโโนนินได้ตาม dose-dependent และออกฤทธิ์ในลักษณะ non-competitive antagonism เมื่อเปรียบเทียบกับป้า婆เวอร์นและเมทัลเชอใจค์แสดงในรูปที่ 10 ป้า婆เวอร์นออกฤทธิ์แบบ non-competitive antagonism ซึ่งแตกต่างจากเมทัลเชอใจค์ออกฤทธิ์แบบ competitive antagonism  $PD_2^1$  values ของแอนซิสโทรเทคโนโลยีทั้งสองขนาดความเข้มข้นไม่มีความแตกต่างอย่างมีนัยสำคัญทางสถิติ ( $P > 0.05$ ) และใกล้เคียงกับป้า婆เวอร์น แต่มีความแตกต่างจากเมทัลเชอใจค์อย่างมีนัยสำคัญทางสถิติ ( $P < 0.05$ )

เมื่อกระตุนกระเพาะอาหารหนูขาวด้วยแปรรูปคลอไรค์ จากรายงานการทดลองนี้ขอสรุปว่า แปรรูปไม่ได้ออกฤทธิ์โดยกระตุ้น nerve plexus ให้หลังอะเซทิลโคเลน (Antonio, Silva & Yashuda, 1973; Clement, 1980) เช่นว่า แปรรูปออกฤทธิ์โดยเพิ่มระยะเวลาของการลดความต่างศักย์ที่เซลล์ของกล้ามเนื้อเรียบ (prolongation of depolarization) แต่กลไกยังไม่ทราบแน่ชัด (Zusuki, Nishiyama & Okamura, 1964) มีผู้อธิบายสาเหตุที่มี prolongation of depolarization เป็นเพราะ potassium conductance น้อยกว่าปกติทั้งในระยะพักและระยะการเกิด depolarization ทำให้เกิด repolarization นานกว่าปกติ เพื่อป้องกัน depolarization กลับคืนสู่ระยะ

พักได้เร็วกว่าปกติ (Sakamoto, 1970) จากรายงานการทดลองเมื่อไนนานนานมานี้พบว่า แบบเรียมลดความต่างศักย์ของเซลล์เมมเบรนและเปิด voltage-dependent calcium channel เป็นผลให้แคลเซียมภายนอกเซลล์ และ membrane bound calcium เคลื่อนเข้าสู่ในเซลล์ซึ่งมีผลต่อการหดตัวของกล้ามเนื้อ (Karaki, Ikeda & Urakawa, 1969; Clement, 1981; Karaki, Satake & Shibata, 1986) ในกรณีที่ไม่มีแคลเซียมภายนอกเซลล์ แบบเรียมสามารถเคลื่อนผ่าน voltage-dependent calcium channel เข้าสู่ภายในเซลล์ไปกระตุ้น Contractile protein โดยตรง (Yukisada & Ebashi, 1961; Yoshino & Yabu, 1985; Karaki *et al.*, 1986) จากผลการทดลองในรูปที่ 11 แอนชิสโตรเทคโนโลยีได้ตาม dose-dependent และออกฤทธิ์ในลักษณะ non-competitive antagonism เมื่อเปรียบเทียบกับเวอราปามิล ออกฤทธิ์ในลักษณะเข่นเดียว กัน แสดงในรูปที่ 12, 13  $PD_{\frac{1}{2}}$  values ของแอนชิสโตรเทคโนโลยีส่องขนาดความเข้มข้นไม่มีความแตกต่างอย่างมีนัยสำคัญทางสถิติ ( $P > 0.05$ ) แต่มีความแตกต่างจากเวอราปามิลอย่างมีนัยสำคัญทางสถิติ ( $P < 0.05$ )

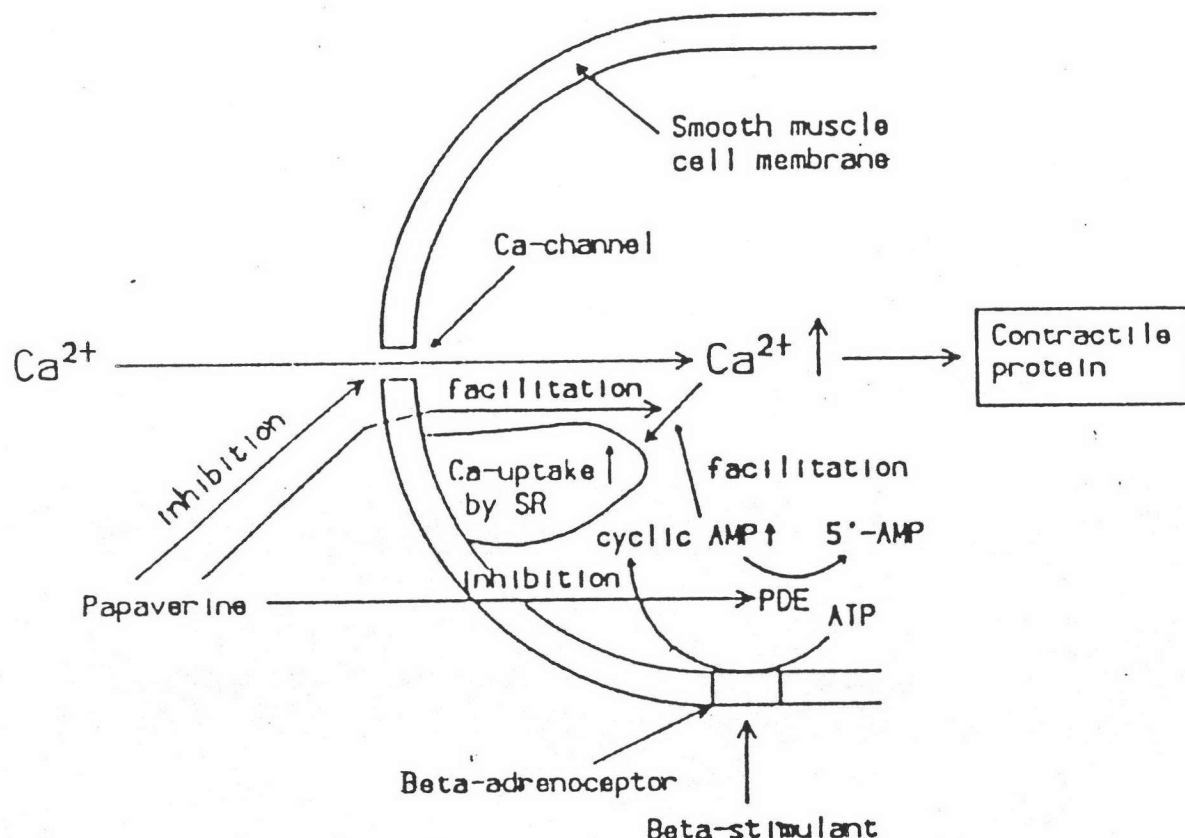
เมื่อกระตุ้นกระแสเพาเวอร์หนาวยังไบโปลัส เชี่ยมคลอไรด์ หรือแคลเซียมคลอไรด์ ในสารละลายคือบลาไรด์ด้วยไบโปลัส เชี่ยมที่ปราศจากแคลเซียม ผลที่ได้ไม่แตกต่างกัน เพราะการใช้ high potassium ทำให้เกิดการลด potassium gradient ระหว่างเมมเบรน ทำให้ membrane potential ลดลงเกิด depolarization ซึ่งเป็นผลให้ potential-sensitive calcium channel เปิด แคลเซียมจากภายนอกเซลล์เคลื่อนเข้าสู่ภายในเซลล์ (Bolton, 1979) และเป็นผลให้แคลเซียมในเซลล์ปลดปล่อยเพิ่มขึ้น ไปมีผลต่อการหดตัวของกล้ามเนื้อ (Urakawa & Holland, 1964) high potassium ทำให้กล้ามเนื้อหดตัว 2 แบบ คือ phasic contraction การหดตัวในระยะเริ่มแรก ใช้แคลเซียมที่ปลดปล่อยภายในเซลล์ และ tonic contraction การหดตัวในระยะต่อมาใช้แคลเซียมจากภายนอกเซลล์เคลื่อนเข้าสู่ภายในเซลล์ (Urakawa & Holland, 1964; Pfaffman, Urakawa & Holland, 1965; Bolton, 1979; Hay & Wadsworth, 1982) จากผลการทดลองแสดงในรูปที่ 14 แอนชิสโตรเทคโนโลยีขนาดความเข้มข้น  $1 \times 10^{-5}$  และ  $3 \times 10^{-5}$  มิล

ลดฤทธิ์ของโปแตสเซี่ยมคลอไรด์ได้ตาม dose-dependent และออกฤทธิ์ในลักษณะ non-competitive antagonism เมื่อเปรียบเทียบกับป้าเวอร์นซึ่งออกฤทธิ์ในลักษณะเช่นเดียวกัน แสดงในรูปที่ 15,16  $PD_{50}$  values ของแอนซิสโตรเทคโนโลยีทั้งสองขนาดความเข้มข้นไม่มีความแตกต่างอย่างมีนัยสำคัญทางสถิติ ( $P > 0.05$ ) และมีค่าใกล้เคียงกับป้าเวอร์น แสดงในตารางที่ 5 และจากผลการทดลองในรูปที่ 17 แอนซิสโตรเทคโนโลยีขนาดความเข้มข้น  $2.4 \times 10^{-6}$  และ  $1 \times 10^{-5}$  มोล ลดฤทธิ์ของแคลเซียมคลอไรด์ในสารละลายคือปولاไรด์ด้วยโปแตสเซี่ยมที่ปราศจากแคลเซียมได้ตาม dose-dependent และออกฤทธิ์ในลักษณะ non-competitive antagonism เมื่อเปรียบเทียบกับเวราปามิโลออกฤทธิ์ในลักษณะเดียวกัน แสดงในรูปที่ 18,19  $PD_{50}$  values ของแอนซิสโตรเทคโนโลยีทั้งสองขนาดความเข้มข้นไม่มีความแตกต่างอย่างมีนัยสำคัญทางสถิติ ( $P > 0.05$ ) แต่มีความแตกต่างจาก  $PD_{50}$  ของเวราปามิโลอย่างมีนัยสำคัญทางสถิติ ( $P < 0.05$ ) ดังแสดงในตารางที่ 6

ทดสอบฤทธิ์ของแอนซิสโตรเทคโนโลยีต่อกระเพาะอาหารทั้งกระเพาะในหนูถีบจักรที่ถูกกระตุนด้วยแปรรูปเรียมคลอไรด์ แสดงในรูปที่ 20 และคาร์บากอล แสดงในรูปที่ 21 เมื่อกระตุนกระเพาะอาหารด้วยแปรรูปเรียมคลอไรด์ผลทำให้แรงบีบตัวภายในกระเพาะอาหารเพิ่มขึ้นขัดเจนทันที มี spontaneous movement อย่างแรง เมื่อให้แอนซิสโตรเทคโนโลยีพบว่าลดการบีบตัวของกระเพาะอาหารอย่างชัดเจนและมี spontaneous movement ลดลง เมื่อล้างออกจนหมดแล้ว incubate กระเพาะอาหารไว้นาน 1 ชม. ให้แอนซิสโตรเทคโนโลยีก่อนให้แปรรูปเรียมคลอไรด์ในขนาดความเข้มข้นที่เท่ากับเมื่อให้ครั้งแรก พบว่า เพิ่มการบีบตัวของกระเพาะอาหารแต่น้อยกว่าครั้งแรกอย่างเห็นได้ชัด เมื่อกระตุนกระเพาะอาหารด้วยคาร์บากอลผลที่ได้ในทันองเดียวกัน จากผลการทดลองแอนซิสโตรเทคโนโลยียังการบีบตัวของกระเพาะอาหารในหนูถีบจักรที่ถูกกระตุนด้วยแปรรูปเรียมคลอไรด์และคาร์บากอลได้อย่างเด่นชัด

จากการทดลองในหนูขาว แอนซิสโตรเทคโนโลยีสามารถยับยั้งการบีบตัวของกระเพาะอาหารที่ถูกกระตุนด้วย agonist ต่าง ๆ และไม่ได้แสดงลักษณะเฉพาะต่อ receptor ใด จึงเห็นได้ว่าแอนซิสโตรเทคโนโลยีออกฤทธิ์แบบ nonspecific antagonism ได้คำนวณหา  $PD_{50}$  values ของแอนซิสโตรเทคโนโลยีจาก cumulative dose-response curve ของอะเซทิลโคเลิน ซีโรโทนิน แปรรูปเรียมคลอไรด์ โปแตสเซี่ยมคลอไรด์ และ

แคลเซียมคลอไรด์ในสารละลายน้ำปลาไรค์ด้วยโพแทสเซียมที่ปราศจากแคลเซียม ดังแสดงในตารางที่ 2-6 จะเห็นว่า  $PD_2^1$  values จาก agonist ตัวเดียวกันค่าที่ได้จะไม่มีความแตกต่างกันอย่างมีนัยสำคัญทางสถิติ ( $P > 0.05$ ) เมื่อเปรียบเทียบถูกต้องของแอนซิสโตรเทคโนโลยีกับ antagonist ที่ใช้ทดลอง ได้แก่ อะโทโรปีน เมทัลเชอใจด์ เวอราปามิล และ ปาป้าเวอร์น พนว่า affinity ของแอนซิสโตรเทคโนโลยีเป็น 40% ของอะโทโรปีน (ตารางที่ 2) 60% ของเมทัลเชอใจด์ (ตารางที่ 3) 70% ของเวอราปามิล (ตารางที่ 4,5) และมีค่าใกล้เคียงกับปาป้าเวอร์นมาก (ตารางที่ 3,5) โดยเฉพาะในตารางที่ 3 ค่า  $PD_2^1$  values ของแอนซิสโตรเทคโนโลยีกับปาป้าเวอร์นไม่แตกต่างกันอย่างมีนัยสำคัญทางสถิติ ( $P > 0.05$ ) จากผลการทดลองที่ได้แอนซิสโตรเทคโนโลยีลดฤทธิ์การหดเกร็งของกล้ามเนื้อกระเพาะอาหารหนูขาวได้เข่นเดียวกับปาป้าเวอร์น และค่า  $PD_2^1$  values ที่ได้ใกล้เคียงกันมาก ฉะนั้นปาป้าเวอร์นจึงเป็นสารตัวหนึ่งที่นำมาเปรียบเทียบ การออกฤทธิ์ของปาป้าเวอร์นมีหลายทาง ได้แก่ 1. ยับยั่งแคลเซียมที่ผ่าน ROCs และ Voltage-dependent calcium channel (Bolton, 1979) 2. กระตุ้น  $\beta$ -adrenergic receptor ที่ผังเซลล์ของกล้ามเนื้อเรี่ยบและไป inhibit phosphodiesterase เป็นผลให้ cAMP เพิ่มขึ้น ทำให้แคลเซียมกลับเข้าไปในแหล่งเก็บภายในเซลล์เพิ่มขึ้น แคลเซียมอิสระลดลงแสดงในรูปที่ 22 (Takayanagi et.al., 1972; Inatomi et.al., 1979) 3. ยับยั่ง mitochondrial respiration ในขบวนการ electron transport chain (Bolton, 1979) มีผลทำให้กล้ามเนื้อคลายตัว และจากการศึกษาของ ดร. ประกร จุฑะพงษ์ และคณะ ภาควิชาเภสัชวิทยา คณะเภสัชศาสตร์ จุฬาลงกรณ์มหาวิทยาลัย (กำลังศึกษา) ได้ศึกษาฤทธิ์ของแอนซิสโตรเทคโนโลยีใน mitochondria ของตับหนูขาวที่แยกออกจาก พนว่า แอนซิสโตรเทคโนโลยีมีผลเป็น uncoupling มีการสร้าง ATP ลดลง และแอนซิสโตรเทคโนโลยีมีผลไปกระตุ้น ATPase ทำให้ ATP ลดลงมาก ถึงแม้ว่ากลไกนี้จะศึกษาใน mitochondria ผลของการทดลองนี้อาจ นำมาอธิบายกลไกของแอนซิสโตรเทคโนโลยี ทำให้เกิดการคลายตัวของกล้ามเนื้อเรี่ยบ จากฤทธิ์ของปาป้าเวอร์นที่กล่าวมา ก็มีส่วนทำให้เกิดการคลายตัวของกล้ามเนื้อเรี่ยบได้เข่นกัน ดังนั้นอาจกล่าวได้ว่าฤทธิ์ของแอนซิสโตรเทคโนโลยีที่ทำให้เกิดการคลายตัวของกล้ามเนื้อเรี่ยบของ



SR : Sarcoplasmic reticulum

PDE: Phosphodiesterase

## กระเพาะอาหารอาจมีกลไกทางอย่างที่คล้ายกับป่าเวอร์น

ผลของแอนซิสโตรเทคโนโลยีต่อการเคลื่อนไหวของผงถ่านจากกระเพาะอาหารไปตามลำไส้เล็กทันทีจัดสภาพปกติ พบร่วมกับการให้แอนซิสโตรเทคโนโลยีขนาดสูง ประมาณ 40-50 มก./กก. เข้าทางหลอดเลือดดำที่หางหนูถีบจักร มีผลลดการเคลื่อนไหวของผงถ่านจากกระเพาะและระยะทางเคลื่อนในลำไส้ลดลง จากการสังเกตจะพบกระเพาะอาหารทันทีที่มีผงถ่านเหลืออยู่มาก ผลการทดลองในหนูถีบจัดสภาพปกติจะสนับสนุนผลการทดลองในรูปที่ 20-21 ซึ่งพบร่วมกับแอนซิสโตรเทคโนโลยีลดการบีบตัวของกระเพาะอาหารทันทีที่แยกออกมาทั้งกระเพาะได้อย่างชัดเจน แม้ว่าจะกระตุนด้วยแบบเรี่ยมคลื่นไส้หรือการบีบตัวของกระเพาะอาหารทันทีที่ทำมาทั้งหมด พบร่วมกับการสนับสนุนผลของการทดลองต่อกระเพาะอาหารทันทีที่ทำมาทั้งหมด สำหรับสารแอนซิสโตรเทคโนโลยีมีผลลดการบีบตัวของกล้ามเนื้อกระเพาะอาหารทั้งในสภาพปกติ (หนูถีบจักร) ทั้งในกระเพาะที่แยกออกจากตัวสัตว์ทดลอง ส่วนการเคลื่อนไหวของผงถ่านในลำไส้ก็เป็นการยืนยันผลการทดลองของสุวรรณ (สุวรรณ ภาสุภาร, 2528) พบร่วมกับสารแอนซิสโตรเทคโนโลยีมีผลลดการเกร็งของลำไส้เล็กของกระต่ายและหนูตะเภา รวมทั้งลดการเคลื่อนของผงถ่านในลำไส้หนูถีบจักรด้วย อย่างไรก็ตามจากการทดลองนี้ มีข้อที่น่าพิจารณาคือ ภายหลังจากฉีดสารละลายแอนซิสโตรเทคโนโลยีเข้าทางหลอดเลือดดำ (50 มก./กก.) หนูทุกตัวจะหยุดการหายใจหรือหายใจลำบาก กล้ามเนื้อขาหลัง ลำตัวคลายตัวหันที่ หนูหยุดการเคลื่อนไหว 2-5 นาที ต่อจากนั้นจะเริ่มมีการหายใจแรง เร็วและหนูเคลื่อนไหวมากขึ้น หนูไม่มีอาการชักปลดปล่อยไม่ตาย และเมื่อฉีดการบีบตัว (1.5 มก./กก.) เข้าทาง intraperitoneum จะพบฤทธิ์ของการบีบตัวลดลง ซึ่งเป็นฤทธิ์ของสารบีบตัวต่อ mucarinic receptor หนูที่ฉีดการบีบตัวไม่มีตาย แต่เมื่อให้การบีบตัวร่วมกับแอนซิสโตรเทคโนโลยี (การทดลองในกลุ่มที่ 4) จะเกิดเสริมฤทธิ์กัน ทำให้หนูตายภายหลังฉีดหันที่โดยหนูหยุดหายใจ หนูบางตัวมีอาการชัก-กระตุกชักเกร็ง อ้าปากคนตาย หนู 2 ตัวแรกที่ฉีดการบีบตัว (1.5 มก./กก.) และแอนซิสโตรเทคโนโลยี (50 มก./กก., IV) ตายทั้ง 2 ตัว จึงเปลี่ยนการให้แอนซิสโตรเทคโนโลยีมาให้ทาง intraperitoneum ก็ยังพบอาการพิษที่รุนแรงมากขึ้น โดยพบว่าหนูจะอ่อนเพลียมาก การหายใจน้อยลง หนูจะชัก อ้าปาก ชักติดต่อกัน 2-3 ครั้งแล้วหายอีก 6 ตัว หนูที่

เหลือมีน้ำลายออกน้อยลงเมื่อเปรียบเทียบกับกลุ่มที่ 3 ที่เหลือ 6 ตัวอยู่ครบตามกำหนดเวลา ภูมิคุ้มกันในไข้ของผงถ่าน เนื่องจากเห็นที่รอดตายมีอาการซักแตกไม่น่าก หนูที่ซักติด ๆ กันมักจะตาย วัดการเคลื่อนไหวของผงถ่านในกระเพาะลำไส้พบว่าลดลงอย่างชัดเจน อย่างไรก็ตาม การที่หนูซักและมีฤทธิ์เสริมกันทำให้หนูตายมาก อาจมีฤทธิ์นี้เข้ามาเกี่ยวข้อง การตายของหนูถูกจัด เมื่อให้คาร์บากอลร่วมกับแอนซิสโตรเทคโนโลยีรีนยังไม่สามารถอุดช่องทางเดินได้แน่นอน ในขณะนี้ จากอาการซัก อ้าปาก คล้ายกับหายใจไม่ได้และหนูมีการเคลื่อนไหวน้อยลง พร้อมกับทางหนูมีสีคล้ำที่หลอดเลือด อาจเป็นไปได้ว่าหนูขาดออกซิเจน ซึ่งอาจเป็นผลของการลดแรงหดตัวของกล้ามเนื้อกระบังลมสำหรับหายใจ หรืออาจเกิดการลดความดันเลือดอย่างมาก การฉีดสารละลายแอนซิสโตรเทคโนโลยีรีนเข้าไปในหนูขาวหรือกระต่าย ขนาด 10 มก./กг. พบว่า ลดความดันโลหิต และอัตราการเต้นของหัวใจอย่างชัดเจน (ขวัญตา โอดสถานุกุล, 2529) อาจจะเสริมฤทธิ์มากขึ้นเมื่อได้ร่วมกับคาร์บากอลจะทำให้ความดันเลือดลดลง นอกจากนี้เข็มว่าแอนซิสโตรเทคโนโลยีรีนยังมีฤทธิ์ลดการเกิด reflex ของการเพิ่มอัตราการเต้นของหัวใจ (ขวัญตา โอดสถานุกุล, 2529) จึงมีผลทำให้เลือดในสมองหรืออวัยวะอื่น ๆ น้อยลง จนเกิดอาการ hypoxia อย่างไรก็ตามจำเป็นต้องศึกษาต่อไปเพื่อจะได้ทราบการเกิดอาการพิษดังกล่าวนี้

จากการศึกษาฤทธิ์ของแอนซิสโตรเทคโนโลยีรีนต่อการหดเกร็งของกล้ามเนื้ออาหารหนูขาวที่แยกออกมา ที่กระตุ้นด้วยสารดังกล่าว หรือผลต่อการบีบตัวของกระเพาะในหนูถูกจัด พบร่วมกับแอนซิสโตรเทคโนโลยีรีนออกฤทธิ์ลดการหดเกร็งของกล้ามเนื้อเรียบได้เด่นชัด ซึ่งเมื่อร่วมกับผลการทดลองที่ได้ศึกษาผลของแอนซิสโตรเทคโนโลยีรีน พบว่า ลดการหดเกร็งของพวกล้ามเนื้อเรียบ หลายชนิดที่แยกออกมา เช่นในลำไส้กระต่ายที่บีบตัวให้เอง ลำไส้หนูตะเภาที่กระตุ้นให้หดเกร็งคั่วย อะเซทิลโคเลิน ชีโรโนนิน แบเรียมคลอไรด์ โปแตสเซียมคลอไรด์ แคลเซียมคลอไรด์ในสารละลายคือโปลาไรค์ด้วยโปแตสเซียมที่ปราศจากแคลเซียม แมกนีเซียมและหนูตะเภาที่ถูกกระตุ้นด้วยออกซิโตซินและชีโรโนนิน (สุวรรณ ภาสภัทร, 2528) รวมทั้งท่อนำสุจิของหนูขาวที่ถูกกระตุ้นด้วย นอร์อะครีโนลิน ชีโรโนนิน แบเรียมคลอไรด์ โปแตสเซียมคลอไรด์ แคลเซียมคลอไรด์ (Ketkosol, 1986) ฤทธิ์ของแอนซิสโตรเทคโนโลยีรีนต่ออวัยวะดังกล่าวเป็นแบบ dose-dependent และเป็นในลักษณะของ non-specific

antagonism โดยกลไกการทดลองของพวากล้ามเนื้อเรี่ยบจะขันกับ แคลเซียมเป็นสำคัญ และจากการทดลองในกระเพาะอาหารของหนูขาวจะได้ผลเหมือนกับในลำไส้ในหนูตะเภา แมลงในหนูขาวและหนูตะเภา ท่อนำสุจิของหนูขาว และหลอดเลือดแดงใหญ่ของหนูขาว แสดงว่า แอนซิสโตรเทคโนโลยีนี้ข้องกับขบวนการของแคลเซียม อย่างไรก็ตามมีกลไกหลายอย่างที่บ่งการผ่านเข้าออกของแคลเซียม

จากการทดลองนี้สนับสนุนผลการนำเข้าสมุนไพรค้อนหมาแดงของแพทย์แผนโบราณ หรือที่เคยมีรายงานถึงสรรพคุณของสมุนไพรนี้สำหรับรักษาโรคบิด แก้ห้องร่วง ดังกล่าวแล้วข้างต้น ได้เป็นอย่างดี แม้ว่าการทดลองจะเป็นสารบริสุทธิ์เพียงหนึ่งในหลาย ๆ อย่างจากสมุนไพรนี้ แต่เนื่องจากปริมาณของสารนี้ค่อนข้างสูง และการสกัดสารนี้ให้บริสุทธิ์สามารถทำได้ จึงน่าที่จะมีการพัฒนาสารบริสุทธินี้เพื่อนำมาใช้ประโยชน์ทางการแพทย์ต่อไป